

## **СИЛЬНІ ЕЛЕКТРИЧНІ ТА МАГНІТНІ ПОЛЯ**

**УДК 621.315.2**

**Л.А. ЩЕБЕНЮК**, канд. техн. наук., проф., НТУ "ХПІ";

**Т.Ю. АНТОНЕЦЬ**, аспірант, ЗАТ "Завод Південкабель", Харків

### **ДО ВИЗНАЧЕННЯ РОЗПОДІЛУ ТЕМПЕРАТУРИ В ВИСОКОВОЛЬТНИХ СИЛОВИХ КАБЕЛЯХ ІЗ ПЛАСТМАСОВОЮ ІЗОЛЯЦІЄЮ**

Робота спрямована на створення методу розрахунку допустимого струму кабелів високої напруги з вулканізованою поліетиленовою ізоляцією. Запропоновано і експериментально перевірено модель, що враховує наявність елементів конструкції кабелю з різним питомим тепловим опором, у тому числі за наявності водоблокуючих стрічок. Виконано аналіз розподілу температури в ізоляції і захисних покривах високовольтних силових кабелів із зшитою поліетиленовою ізоляцією на номінальну напругу 64/110 кВ. Розглянутий метод може бути застосованим тільки для одиночного ізольованого кабелю чи лінії.

**Ключові слова:** високовольтний силовий кабель, зшита поліетиленова ізоляція, температура ізоляції, водоблокуючі стрічки.

**Вступ.** Важливою споживчою властивістю силових кабелів, що визначає їх ліквідність, є їх навантажувальна спроможність. Високовольтні кабелі з пластмасовою ізоляцією, порівняно із традиційними маслом наповненими, мають ряд особливостей: підвищена гранично допустима температура ізоляції, більші, ніж у традиційних, площині перерізу жил і товщини ізоляції, суттєва залежність теплопровідності і теплоємності ізоляції від температури. Тому стандартні методи визначення пропускної спроможності в режимах реальної експлуатації вимагають, щонайменше, перевірки і розрахунком, і експериментально впливу розподілу температури в ізоляції і захисних покривах на їх пропускну спроможність.

**Аналіз останніх досліджень і публікацій.** В [1] нами показано, що доцільно, при визначенні навантажувальної спроможності цих кабелів, порівнювати рішення, одержані за допомогою різних розрахункових моделей процесів тепло і масообміну. Зокрема зазначено, що для визначення динаміки їх нагрівання необхідне застосування методу зосереджених теплоємностей, але модель для застосування цього методу для високовольтних кабелів з пластмасовою ізоляцією в нормативній документації відсутня [2]. Додаткові питання виникають щодо відповідних кабелів з оболонкою з полівінілхлоридного пластикату (ПВХ), призначених для застосування в пожеженебезпечних умовах. Оскільки питомий тепловий опір ПВХ суттєво більший, ніж у поліетилену, захисний покрив з ПВХ суттєво збільшує тепловий опір кабелю. Якщо такий кабель призначений

© Л.А. Щебенюк, Т.Ю. Антонець, 2014

для прокладання в ґрунті, то до теплового опору оболонки додається тепловий опір ґрунту навколо кабелю, тепловий опір якого може бути суттєво більшим, ніж у ґрунту, віддаленого від кабелю [2]. Тому для врахування температури елементів конструкції кабелю на їх теплофізичні характеристики необхідне визначення розподілу температури в кабелі за номінального режиму роботи.

**Ціль і задачі дослідження.** Запропонувати розрахункову модель для визначення розподілу температури в ізоляції та захисних покривах кабелю з пластмасовою ізоляцією АПвЭВнгд 1× 500 – 110 в номінальному режимі. Спів ставити результати розрахунку з відповідними результатами вимірювання температури ізоляції і захисних покривів.

**Основний матеріал дослідження.** Основою визначення навантажувальної спроможності кабелю є розрахунок номінального струму за аналогією процесів тепломасообміну, зокрема процесів переносу зарядів і процесу переносу тепла. Відповідні моделі, однакові за своєю структурою і включають як базові, різницю потенціалів (електричних чи теплових), потік, опір, провідність. Відповідно, всі інші елементи моделей, що описують той чи інший процес, є похідними від цих величин і математичний опис того чи іншого процесу в системах диференційних рівнянь є досить універсальним і уніфікованим [2, 3].

В циліндричних координатах ( $r, \theta, z$ ), найбільш прийнятних для опису процесів тепломасообміну в кабелях, для потенціалу  $\phi$  застосовують рівняння Пуассона:

$$\frac{1}{r} \frac{\partial}{\partial r} \left( r \frac{\partial \phi}{\partial r} \right) + \frac{1}{r^2} \frac{\partial^2 \phi}{\partial \theta^2} + \frac{\partial^2 \phi}{\partial z^2} = 0, \quad (1)$$

в якому, якщо потенціал залежить тільки від радіусу (радіальне поле), другий і третій доданки в лівій частині дорівнюють нулю, то:

$$\frac{1}{r} \frac{\partial}{\partial r} \left( r \frac{\partial \phi}{\partial r} \right) = 0, \quad (2)$$

$$\int \frac{\partial}{\partial r} \left( r \frac{\partial \phi}{\partial r} \right) = 0, \quad (3)$$

$$r \frac{\partial \phi}{\partial r} + A = 0, \quad (4)$$

де постійна інтегрування  $A$ , яка за умови, що при  $r = r_1 \phi = \phi_0$  і при  $r = r_2 \phi = 0$  ( $r_1 < r_2$ ), дорівнює:  $A = \phi_0 / \ln(r_2 / r_1)$  і відповідно градієнт потенціалу обернено пропорційний до радіусу:

$$-\frac{\partial \phi}{\partial r} = \phi_0 / r \ln \frac{r_2}{r_1}. \quad (5)$$

Ця модель є основною розрахунковою моделлю, що використовується в кабельній техніці для опису процесів переносу через однорідну речовину в радіальному полі за стаціонарного режиму навантаження:

зарядів через ізоляцію, для якого різниця потенціалів  $U$  в В, електричний струм  $I_{13}$  в Кл/с, опір ізоляції на одиницю довжини кабелю:

$$R_{13} = \rho \ln(r_2/r_1)/2\pi, \text{ де } \rho \text{ в } \Omega \cdot \text{м}; \quad (6)$$

тепла через ізоляцію, для якого різниця температур  $\tau$ , К; тепловий потік  $P$ , Дж/с; тепловий опір ізоляції на одиницю довжини кабелю:

$$S_{13} = \sigma_{13} \ln(r_2/r_1)/2\pi, \text{ де } \sigma_{13} \text{ в } \text{Км} / \text{Вт}. \quad (7)$$

Оскільки потенціал залежить тільки від радіусу лише за умови необмежено довгого кабелю, а речовина, в якій відбувається процес переносу в тій чи іншій мірі є неоднорідною, модель (5) зумовлює похибку тим меншу, чим вищезазначені умови близькі до реальності. На використанні цієї моделі базуються всі нормативні документи щодо визначення пропускної спроможності силових кабелів [2]. Відповідно розподіл температур в кабелі визначають через дискретний набір значень різниці температур  $\tau$  на елементах конструкції, до яких можна застосувати зазначені умови. При цьому розподілом температур в межах окремого елементу нехтують. Результати відповідних розрахунків для кабелю АПвЭВнгд 1× 500 – 110 наведено на рис.1.

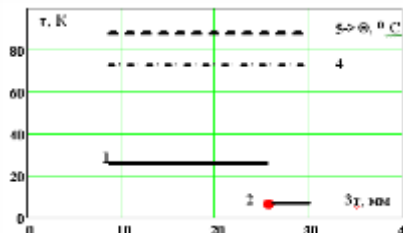


Рис. 1 – Різниці температур (перегрів  $\tau$ ) на елементах конструкції кабелю АПвЭВнгд 1× 500 – 110 та температура жили  $\Theta$  в  $^{\circ}\text{C}$  (5) в стаціонарному режимі за тепловиділення в жилі 42 Вт/м: 1 – ізоляція; 2 – водоблокуючий шар (товщина 0,5 мм); 3 – оболонка з ПВХ- пластикату; 4 – сумарний перегрів відносно температури оточуючого середовища 15  $^{\circ}\text{C}$

Результати розрахунків за нормативними документами [2] дозволяють визначити максимальну температуру ізоляції кабелю (5), а відтак визначення пропускну спроможність кабелю у вигляді номінального струму. При цьому неможливо оцінити, в якій саме області ізоляції температура є максимальною, що є важливим для вирішення, щонайменше двох задач, а саме:

1) визначення похибки розрахункового значення номінального струму, спричиненої суттєвою залежністю теплопровідності ізоляції від температури;

2) визначення перевантажувальної спроможності таких кабелів методом зосереджених теплоємностей, оскільки динаміка нагрівання впродовж перших кількох годин перевантаження суттєво залежить від теплоємності поліетиленової ізоляції, для якої характерна значна залежність від температури (наприклад, питома теплоємність поліетилену за температури 20 °C становить 2300 Дж/кг·°C, а за 80 °C становить 3750 Дж/кг·°C).

Для визначення розподілу температури в ізоляції та захисних покривах кабелю використано аналогію процесів тепломасообміну, зокрема процесів переносу зарядів і процесу переносу тепла. Відома модель, що описує розподіл електричного поля в так званій градійованій ізоляції [3] застосована для розрахунку градієнту перегріву в елементах конструкції, що мають різну теплопровідність:

$$-\frac{dt(i)}{dr(i)} = \frac{\tau\sigma(i)}{x(i)\sum_{i=1}^n \sigma(i)\ln\left(\frac{r(i)}{r(i-1)}\right)}, \quad (8)$$

де  $i$  – номер елементу конструкції кабелю, в межах якого питомий тепловий опір  $\sigma(i)$  є незмінним;  $r(i-1)$ ,  $r(i)$  – найменший і найбільший радіуси відповідних радіальних елементів;  $r(i)$  – поточний радіус, що належить діапазону  $|r(i-1), r(i)|$ .

Температура елементів кабелю визначена відповідно як:

$$\Theta(i) = 90 - \int_{r_0}^{r(i)} \frac{dt(j)}{dr(j)} dr, \quad (9)$$

де 90 – максимальна допустима тривала температура ізоляції, за якою визначено номінальний струм.

Результати розрахунку за (8) і (9) для АПвЭВнгд 1× 500 – 110,  $i = 3$  (ізоляція із зшитого поліетилену, водоблокуюча стрічка, оболонка з ПВХ-пластикату, температура поверхні  $40 \pm 2$  °C) наведено на рис. 2. Експериментально визначену (за додаткового захисного покриву із значним тепловим опором) температуру електропровідного екрану нанесено у вигляді точки на рис. 2. Значення дорівнює 71 °C, що є підтвердженням визначеного розрахунком факту наявності в кабелі теплового бар'єру у вигляді водоблокуючого шару товщиною 0,5 мм. Цей елемент конструкції кабелю зумовлює досить високу температуру всієї ізоляції. На ділянці напівпровідного екрану по ізоляції температура становить  $(67 \pm 2)$  °C в номінальному режимі і без додаткового захисного покриву.

Експериментальна перевірка розподілу температури в кабелі дозволила, по-перше, прийняти в розрахунках питомий тепловий опір ізоляції  $\sigma(1) = 3,6 \text{ }^{\circ}\text{C} \cdot \text{м}/\text{Вт}$ , характерний для температур  $(67 \pm 2) \text{ }^{\circ}\text{C}$ . По-друге, засвідчила роль теплового бар'єру у вигляді водоблокуючої стрічки в конструкції кабелю АПвЭВнгд 1× 500 – 110.

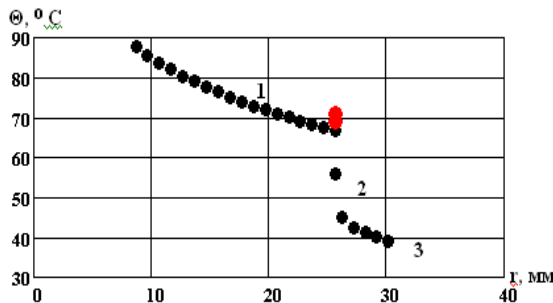


Рис. 2 – Температура елементів кабелю АПвЭВнгд 1× 500 – 110 в стаціонарному режимі за тепловиділення жили 42 Вт/м: 1 – ізоляція; 2 – водоблокуючий шар; 3 – оболонка з ПВХ-пластикату; температура оточуючого середовища 15 °C; точка  $\Theta = (70 \pm 1) °C$  – експериментально визначена температура електропровідного екрану по ізоляції в умовах додаткового захисного покриву

Одержані результати свідчать про цілий ряд особливостей відведення тепла в оточуюче середовище у високовольтних кабелях з пластмасовою ізоляцією, які прямо впливають на їх пропускну і відповідно перевантажувальну спроможність.

Більша, порівняно із традиційними конструкціями, товщина ізоляції, більші значення площи перерізу струмопровідних жил, мідний електропровідний екран, поверх якого накладений тонкий шар водоблокуючої стрічки з дуже високим питомим тепловим опором ( $\sigma(2) = 50 \text{ }^{\circ}\text{C} \cdot \text{м}/\text{Вт}$ ) зумовлюють те, що для цих кабелів характерним є досить висока температура всієї ізоляції (напівпровідний екран – зшита поліетиленова ізоляція – напівпровідний екран). Водоблокуюча стрічка в конструкції кабелю АПвЭВнгд  $1 \times 500 - 110$  у нормальному режимі роботи виконує роль теплового бар'єру. Це підтверджує вимірюване експериментально значення температури електропровідного екрану по ізоляції (див. рис. 2).

**Висновки.** 1) Для високовольтних кабелів з пластмасовою ізоляцією діючі нормативні документи щодо **визначення тривало допустимого струму** є застосовними. Однак відповідні розрахункові

моделі не дозволяють визначити розподіл температури в елементах конструкції цих кабелях, зокрема в їх ізоляції. 2) Для визначення навантажувальної спроможності таких кабелів необхідне застосування методу зосереджених теплоємностей, оскільки динаміка нагрівання впродовж перших кількох годин навантаження суттєво залежить від теплоємності жили і прилеглої до неї ізоляції. При застосуванні цих методів необхідно визначення розподілу температури в ізоляції, товщина якої є більшою, ніж у традиційних маслом наповнених кабелів, і має місце суттєва залежність тепlopровідності і теплоємності ізоляції від температури. 3) Для визначення розподілу температури в ізоляції та захисних покривах кабелю використано аналогію процесів переносу зарядів і процесу переносу тепла. Відома модель, що описує розподіл електричного поля в так званій градійованій ізоляції [3] застосована для розрахунку градієнту перегріву в елементах конструкції, що мають різну тепlopровідність. 4) Запропоновано і експериментально перевірено модель, що враховує наявність елементів конструкції кабелю з різним питомим тепловим опором. 5) Показано, що для кабелю АПвЭВнгд 1× 500 – 110 водоблокуюча стрічка в конструкції у нормальному режимі роботи виконує роль теплового бар'єру і зумовлює те, що для цих кабелів характерним є досить висока температура всієї ізоляції (напівпровідний екран – зшита поліетиленова ізоляція – напівпровідний екран).

**Список літератури:** 1. Щебенюк Л.А. До визначення пропускної спроможності високовольтних силових кабелів з пластмасовою ізоляцією / Л.А. Щебенюк, Т.Ю. Антонець // Вісник НТУ "ХПІ". – Харків: НТУ "ХПІ", 2011. – Вип. 42.– С. 43-46. 2. ДСТУ IEC60287-1-1:2012. Кабелі електричні. Обчислення номінальної сили струму. Частина 1 – 1. Співвідношення для обчислення номінальної сили струму (коєфіцієнт навантаження 100 %) і обчислення втрат. Загальні положення. 3. Золотарев В.М. Конструкции и электрическое поле кабелей с изоляцией из сшитого полистилена / В.М. Золотарев, В.П. Карпушенко, А.Г. Гурин, Ю.А. Антонец, В.В. Золотарев, А.А. Науменко. – Х.: Майдан, 2014. – 188 с. 4. Основы кабельной техники: [учебник для студ. высш. учеб. заведений] / В.М. Леонов, И.Б. Пешков, Б.Р. Рязанов, С.Д. Холодный; под ред. И.Б. Пешкова. – М.: Издательский центр "Академия", 2006. – 432 с. 5. Карпушенко В.П. Системний підхід до випуску конкурентноспроможної продукції / В.П. Карпушеко // Силові кабелі низької та середньої напруги. Конструювання, технологія, якість: [підруч. для студ. вузів] / В.П. Карпушенко, Л.А. Щебенюк, Ю.О. Антонець, О.А. Науменко – Х.: Регіон-інформ, 2000. – С. 202-210.

**Bibliografy (transliterated):** 1. Shchebenyuk L.A. Do vyznachennya propusknnoi spromozhnosti vysokovol'tnykh slyovykh kabeliv z plastmasovoou izolyatsiyeyu. Visnyk NTU "HPI". Kharkiv: NTU "HPI", 2011. No. 42. 43-46. Print. 2. DSTU IEC60287-1-1:2012. Kabeli elektrychni. Obchisleniya nominalnoi sili struumu. Chastina 1 – 1. Spivvidnozheniya dlya obchisleniya nominalnoi sili struumu (koefitsient nавантаження 100 %) i obchisleniya

*vtram. Загальні положення.* 2012. Print. **3.** Zolotarev V.M., Karpushenko V.P., Gurin A.G., Antonec Ju.A., Zolotarev V.V., Naumenko A.A.. Konstrukcii i jelektricheskoe pole kablej s izoljaciej iz sshitogo polijetilena. Kharkiv: Maydan, 2014. Print. **4.** V.M. Leonov, I.B. Peshkov, I.B. Rjazanov, S.D. Holodnyj. *Osnovy kabel'noj tekhniki*. Moscow: Izdatel'skij centr "Akademija", 2006. Print. **5.** Karpushenko V.P., Shchebenyuk L.A., Antonets' Yu.O., Naumenko O.A. *Systemnyy pidkhid do vypusku konkurentnospromozhnoyi produktsiyi. Sylvi kabeli nyz'koyi ta seredn'oyi napruhy. Konstruyuvannya, tekhnolohiya, yakist'*. Kharkiv: Rehion-inform, 2000. 202-210. Print.

*Надійшла (received) 10.10.2014*



**Щебенюк Леся Артемівна**, кандидат технічних наук, професор кафедри "Електроізоляційна і кабельна техніка". У 1966 р. закінчила Харківський політехнічний інститут зі спеціальністю "Електроізоляційна і кабельна техніка". У 1979 р. у Ленінградському політехнічному університеті захистила кандидатську дисертацію по темі: "Дослідження електричного старіння бумажно-епоксидної ізоляції" зі спеціальністю "Електроізоляційна і кабельна техніка". Наукові інтереси пов'язані з удосконаленням способів контролю характеристик електроізоляційних матеріалів і конструкцій; удосконалення способів і зниження дисперсії параметрів електроізоляційних матеріалів.



**Антоненець Тарас Юрійович**, аспірант кафедри "Електроізоляційна і кабельна техніка". У 2008 р. закінчив НТУ "ХПІ" зі спеціальністю "Електроізоляційна і кабельна техніка". Висунуто на здобуття премії Президента України для молодих вчених. Наукові інтереси пов'язані з методами визначення перевантажувальної здатності кабелів з полімерною ізоляцією, розробкою конструкцій, технологій та випробуванням силових кабелів з вулканізованою поліетіленовою ізоляцією на напругу до 330 кВ.